

AC PDP에서 Kr-Ne-Xe 혼합가스의 방전 특성 연구

박현동, 이돈규, 조성용, 이해준, 이호준
부산대학교 전기공학과

A research of the discharge characteristics in Kr-Ne-Xe gas mixture of AC PDP

Hyun-Dong Park, Don-Kyu Lee, Sung-Yong Cho, Hea June Lee, Ho-Jun Lee
Department of Electrical Engineering, Pusan National University

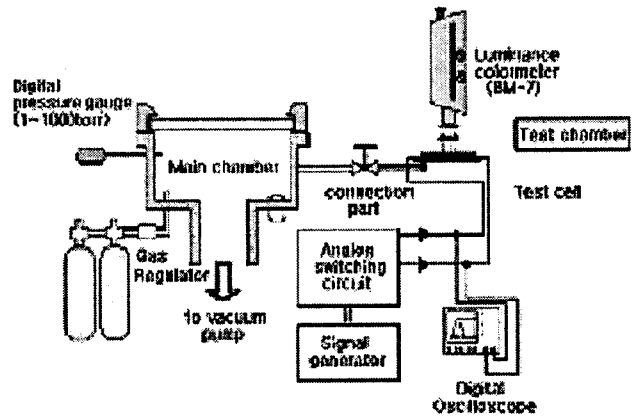
Abstract - 보통의 AC PDP에서는 Ne, Xe 혼합가스를 사용한다. Xe %가 높아짐에 따라 PDP의 효율은 올라가지만 그와 함께 최초의 방전을 일으키는 방전 개시 전압 또한 올라간다. 이러한 이유로 실제 PDP에서 무한정 Xe %를 올릴 수는 없다. 그래서 우리는 Xe gas보다 원자번호가 낮은 불활성기체인 Kr gas를 첨가시킴으로써 동일한 효율에서 방전개시전압이 낮은 최적의 3원 가스 조성비를 찾아보았다.

<표 1>은 측정된 패널을 기술한 것이다. 이 패널은 42인치 XGA급을 축소한 7인치 패널이다. 우리는 이 패널에 Xe 5%, 10%, 15%로 고정시키고 Kr : Ne의 비를 바꿔가면서 방전 전압, 휘도 및 효율을 측정하였다. 압력은 500Torr, 400Torr로 동일하게 측정하였다.

1. 서 론

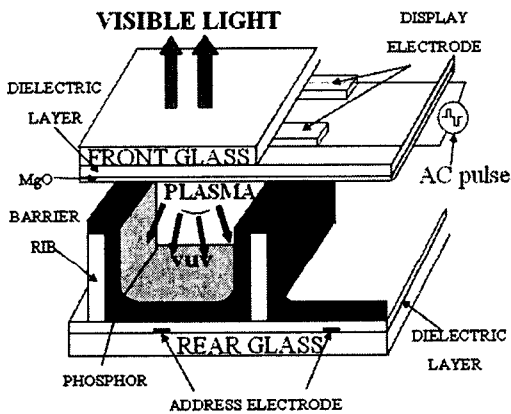
최근 CRT, PDP, LCD, OLED, Projector, Projection TV 등 많은 디스플레이가 장치되어 있다. 이 중에 특히 AC PDP(Plasma Display Panel)는 현대 디지털 멀티미디어 환경에서 가장 적합한 디스플레이 장치라고 알려져 있고 발전 속도 또한 빠르다. <그림 1>은 기본적인 AC PDP의 구조이다. AC PDP의 원리는 가스 방전에 의해 생긴 VUV(Vacuum Ultraviolet)가 형광체를 여기시켜 가시광을 낸다.[1][2] 그러나 아직까지 AC PDP는 여러 가지 해결해야 할 쟁점들이 있다. 그 중에서 혼합가스의 종류는 휘도와 발광효율을 높이는데 아주 중요한 역할을 한다. 우리는 Kr-Ne-Xe 가스를 사용함으로써 AC PDP에서 나오는 빛의 휘도와 발광효율을 높이고자 연구하였다.

2.1.2 실험 장비 시스템



<그림 2> 실험 장비 시스템

<그림 2>는 본 실험에 사용된 장비 시스템을 도면화한 것이다. 테스트 셀과 가스, 진공 챔버를 연결하여 가스 조성을 자유롭게 바꿀 수 있도록 하였고, 셀의 휘도를 측정하기 위해서 BM-7 휘도계를 사용하였다.



<그림 1> PDP 한 셀의 기본구조

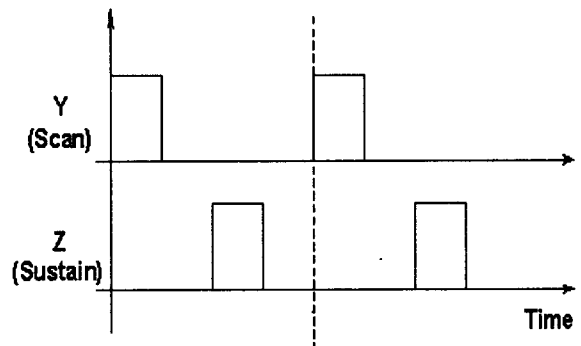
2. 본 론

2.1 실험 방법 2.1.1 패널 규격

<표 1> 측정된 패널 규격

Bus 전극폭	70 μ m
ITO 전극폭	270 μ m
ITO 전극갭	60 μ m
유전체 두께	40 μ m
MgO 두께	8000 \AA (E-beam evaporation)
격벽폭	90 μ m
격벽 높이	130 μ m
형광체 두께	20 μ m

2.1.3 인가된 파형

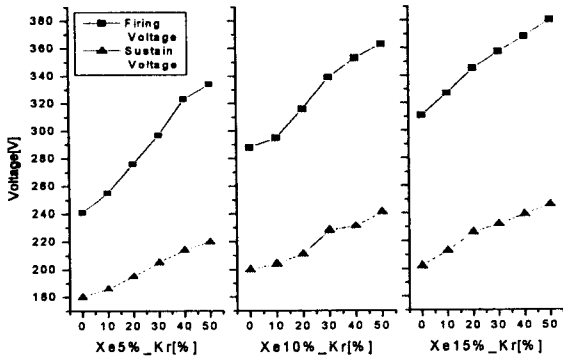


<그림 3> 인가된 파형

<그림 3>은 실험을 위해 인가된 sustain 파형을 나타내고 있다. Scan 전극과 Sustain 전극에 동일한 전압을 교대로 펄스를 주어 패널을 방전시켰다. 방전에 사용된 주파수는 10 khz이다. 이 파형을 이용하여 테스트 패널의 방전 전압, 정마진, 휘도, 효율을 측정하였다.

2.2 실험 결과

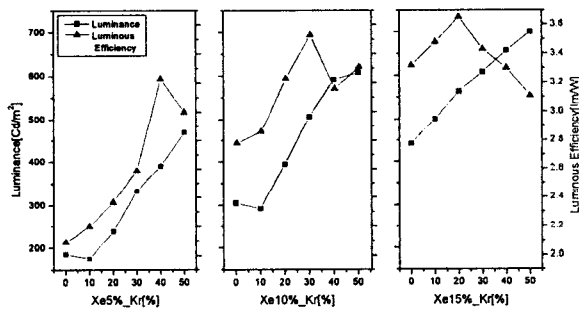
2.2.1 500Torr gas의 방전 전압 특성



〈그림 4〉 500Torr 가스의 방전 전압 특성

〈그림 4〉는 가스의 압력이 500torr에서 Xe 5%, 10%, 15%일 때 Kr %를 0% ~ 50%까지 변화시킬 때의 방전 개시 전압과 방전 유지 전압을 측정된 그래프이다. Ne 가스보다 2차 전자 방출(γ)이 낮은 Kr, Xe 가스의 비율이 증가함에 따라 방전을 개시하는 전압이 높아지는 것을 알 수 있다. 방전을 유지하는 전압 또한 Kr, Xe 가스의 비율이 높아지는 것과 함께 높아진다. 방전 개시 전압은 Kr이 0% ~ 50%로 첨가됨에 따라 평균 25%의 증가를 보이고, 방전 유지 전압은 평균 19%의 증가를 보인다. 그리고 Xe이 5% ~ 15%로 첨가됨에 따라 방전 개시 전압은 평균 20%의 증가를 보이고, 방전 유지 전압은 평균 10% 증가를 보인다.

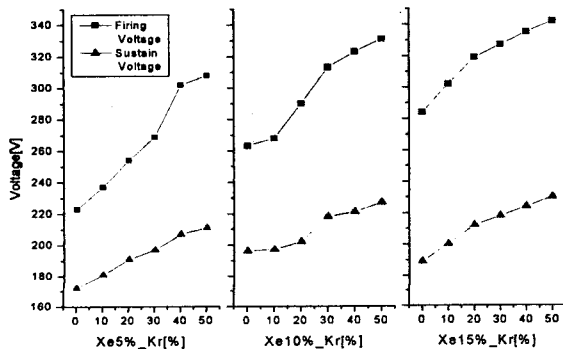
2.2.2 500Torr gas의 휘도 및 효율 특성



〈그림 5〉 500Torr 가스의 휘도 및 효율 특성

〈그림 5〉는 가스의 압력이 500torr에서 Xe 5%, 10%, 15%일 때 Kr %를 0% ~ 50%까지 변화시키면서 휘도와 효율을 측정된 그래프이다. Kr %가 높아짐에 따라 휘도도 같이 상승하였다. 휘도가 높아짐에도 불구하고 효율은 상승하다가 Kr, Xe %의 합이 40% 근방에서 감소하기 시작하였다. 이것은 휘도의 상승률보다 전하량의 상승률이 더 높아서 전류의 양이 많아졌기 때문이다.

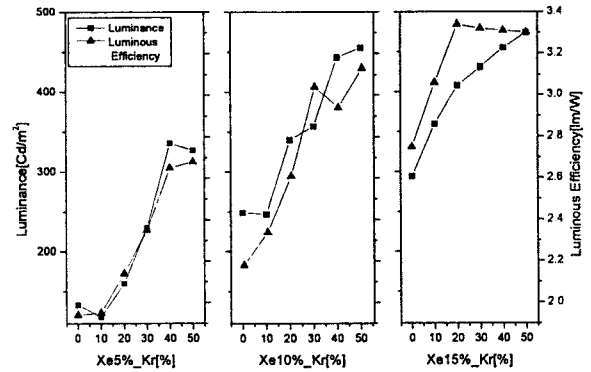
2.2.3 400Torr gas의 방전 전압 특성



〈그림 6〉 400Torr 가스의 방전 전압 특성

〈그림 6〉는 가스의 압력이 400torr에서 Xe 5%, 10%, 15%일 때 Kr %를 0% ~ 50%까지 변화시킬 때의 방전 개시 전압과 방전 유지 전압을 측정된 그래프이다. Ne 가스보다 2차 전자 방출(γ)이 낮은 Kr, Xe 가스의 비율이 증가함에 따라 방전을 개시하는 전압이 높아지는 것을 알 수 있다. 방전을 유지하는 전압 또한 Kr, Xe 가스의 비율이 높아지는 것과 함께 높아진다. 방전 개시 전압은 Kr이 0% ~ 50%로 첨가됨에 따라 평균 23%의 증가를 보이고, 방전 유지 전압은 평균 15%의 증가를 보인다. 그리고 Xe이 5% ~ 15%로 첨가됨에 따라 방전 개시 전압은 평균 20%의 증가를 보이고, 방전 유지 전압은 평균 10% 증가를 보인다.

2.2.4 400Torr gas의 휘도 및 효율 특성



〈그림 7〉 400Torr 가스의 휘도 및 효율 특성

〈그림 7〉는 가스의 압력이 400torr에서 Xe 5%, 10%, 15%일 때 Kr %를 0% ~ 50%까지 변화시키면서 휘도와 효율을 측정된 그래프이다. Kr %가 높아짐에 따라 휘도도 같이 상승하였다. 휘도가 높아짐에도 불구하고 효율은 상승하다가 Kr, Xe %의 합이 40% 근방에서 감소하기 시작하였다. 이것은 휘도의 상승률보다 전하량의 상승률이 더 높아서 전류의 양이 많아졌기 때문이다. 방전 개시 전압이 같은 Xe5%kr40%의 효율은 2.6[lm/W]이고 Xe15%kr10%의 효율은 3.07[lm/W]이다. Kr%를 첨가하면 같은 방전 전압에서 더 높은 효율을 가질 수 있다.

3. 결 론

AC PDP에서 해결해야 할 가장 큰 문제점인 효율을 높이기 위해서 우리는 Ne-Xe 가스에 불활성기체인 Kr 가스를 넣고 방전 전압, 정마진, 휘도 및 효율을 측정해 보았다. Kr 가스의 비율이 증가할 수록 효율이 증가하는 것을 알 수 있었지만 그와 동시에 방전 전압 또한 높아졌다. 하지만 상용화 되어 있는 AC PDP에 사용되는 Xe%에 비해서는 방전 전압의 증가폭이 작았다. 실제적인 상용화를 위해서는 테스트 패널의 방전 늦춤의 측정과 스펙트럼을 통한 광특성 분석 등의 연구가 더 필요하다.

[참 고 문 헌]

- [1] K. Sakita et al, SID01 Digest, p1022, 2001
- [2] J. Y. Yoo et al, SID01 Digest, p798, 2001
- [3] Chung-Hoo Park, "Introduction to Plasma Display Panel", PNU Press, 2000